

Рис. 3.

ізм. ($\Delta t_1 = 10^\circ$, $\Delta t_2 = 0^\circ$) і висоті полюса $\Delta t_c = 20^\circ$. Криві I – 3 відповідають значенням $\delta e = \infty$, 1, 0. Відносні похибки при $\Delta t_1 = 0^\circ$, $\Delta t_2 = 10^\circ$ мають ту саму величину.

Список літератури: 1. Мелаки З., Паржус Г. Температурные напряжения, вызванные стационарными температурными полями. – М.: Физматгиз, 1958. 2. Постригач Я.С., Коллио Ю.М. Неуставовицькі температурні поля та напруження в тонких пластинках. Київ: Наукова думка, 1972. 3. Хлебников Д.Г., Паражак А.Н. Приближенный метод определения напряжений в экранном узле кинескопа с плоским экраном. – В кн.: Качество электронно-лучевых приборов. Київ: Наукова думка, 1977.

Стаття надійшла в редколегію 19.02.1980 р.

УДК 539.3:681.3.057

М.Ф.Копитко, Я.Г.Салула

ПРО МОЖЛИВІСТЬ НЕХТУВАННЯ РІЗНИЦЮ РАДІУСІВ ВОЛОСКІН КРИВОЛІНІЙНОЇ ТРУБИ ПРИ ЇЇ РОЗРАХУНКУ

У працях [1, 2] для розрахунку труб з коловою віссю як вихідну систему рівнянь використовують рівняння, одержані за припущення, що радіус перерізу труби малий порівняно з радіусом осі. Ми досліджуємо можливість аналогічних спрощень для розв'язування задачі про

рівновагу криволінійної труби у перенесених напівкоординатах складає основний методу скінчених елементів /МСЕ/ [4].

Розглядаємо тонку пружну оболонку товщиною h , серединка поверхня якої утворена рухом кола радіуса R ,

$$\gamma = -R \sin d_1, \quad \beta = R \cos d_1, \quad 0 \leq d_1 \leq 2\pi$$

по довільній площині напрямлій

$$x = R_1 \gamma (d_2), \quad y = R_2 \beta (d_2), \quad d_2^0 \leq d_2 \leq d_2^e, \quad R_2 = \text{const}. \quad /1/$$

В ортогональній спрямованій системі координат d_1, d_2 коефіцієнти Ламе A_1, A_2 і головні кривини $\frac{1}{R_1}, \frac{1}{R_2}$ серединної поверхні мауть вигляд

$$A_1 = R_1, \quad A_2 = R_2 t(d_1, d_2), \quad \frac{1}{R_1} = \frac{1}{R_2}, \quad \frac{1}{R_2} = \frac{\sin d_1 \tau(d_2)}{R_2 t(d_1, d_2)},$$

де

$$t(d_1, d_2) = \left\{ 1 + \frac{R_1}{R_2} \sin d_1, \frac{x''x' - \beta''\gamma'}{[x'^2 + \beta'^2]^{3/2}} \right\} (x'^2 + \beta'^2)^{\frac{1}{2}}, \quad /2/$$

$$\tau(d_2) = \frac{\beta''x' - x''\beta'}{x'^2 + \beta'^2}.$$

Для спрощення розрахунків вважаємо, що в формулі /2/ можна нехтувати величини $\frac{R_1}{R_2} \sin d_1, \frac{x''x' - \beta''\gamma'}{[x'^2 + \beta'^2]^{3/2}}$ порівняно з одиницею, тобто аналогічно як і в працях [1, 2] можемо рівністю радіусів волокон труби.

$$\text{Намо } t(d_2) = (x'^2 + \beta'^2)^{\frac{1}{2}}.$$

Стільки з варіаційним принципом Лагранжа [3, 5], переміщення, які виникають в оболонці, надають мінімуму функціоналу

$$I(u) = \frac{1}{2} \int_{\Omega} u^T [C^T \delta C u - 2P] A_1 A_2 d\omega_1 d\omega_2 \quad /3/$$

на множині функцій переміщень $u \in W_2^1(\Omega)$, $g \in W_2^1(\Omega)$, $w \in W_2^1(\Omega)$, що задовілюють геометричні граничні умови.

Тут $\Omega = \{d_1, d_2 : 0 \leq d_1 \leq 2\pi, d_2^0 \leq d_2 \leq d_2^e\}$; $u = (u, g, w)^T$

вектор переміщень точок серединної поверхні оболонки; C - матриця зв'язку між вектором U і вектором деформацій точок серединної поверхні $\varepsilon = (\varepsilon_1, \varepsilon_2, \omega_1, \omega_2, 2\tau)^T$;

$P = (P_1, P_2, P_n)^T$ - вектор поверхневого навантаження; B - матриця фізичних співвідношень теорії оболонок $\sigma = B\varepsilon$, де $\sigma = (T_1, T_2, S, M_1, M_2, H)^T$.

Розв'язок задачі про мінімум функціоналу /3/ нукаємо аналогічно як і в праці [4] у вигляді

$$U = \sum_{m=0}^M \varphi_m(\alpha_1) \psi_m(\alpha_2),$$

де

$$\varphi_m(\alpha_1) = \begin{cases} \cos \frac{m}{2} \alpha_1, & (-1)^m > 0 \\ \sin \frac{m}{2} \alpha_1, & (-1)^m < 0. \end{cases}$$

Поділилиши область Ω на смуги

$$\Omega_i = \{\alpha_1, \alpha_2 : 0 \leq \alpha_1 \leq 2\pi, \alpha_2^{i-1} \leq \alpha_2 \leq \alpha_2^i\}, i = 1, e,$$

побудуємо на заданій сукупності точок $\{\alpha_2^0, \alpha_2^1, \dots, \alpha_2^e\}$ скінченно-елементні апроксимації вектор-функції $\psi_m(\alpha_2)$ так, щоб простір допустимих функцій, які набирають $\psi_m(\alpha_2)$, не виходив із області визначення функціоналу /3/. На проміжку $[\alpha_2^{i-1}, \alpha_2^i]$ зобразимо вектор-функцію $\psi_m(\alpha_2)$ у вигляді

$$\psi_m(\alpha_2) = N^i(\alpha_2) q_m^i,$$

де $N^i = (N_{i-1}, N_i)$ - матриця, елементами якої є поліноми Ерміта першого і третього степенів; $q_m^i = (q_{mi-1}^T, q_{mi}^T)^T$ - вектор невідомих кузовних коефіцієнтів розкладів функцій U, v, w, ω .

Записуючи необхідну умову мінімуму функціоналу /3/ по параметрах q_m^i , одержуємо для їх визначення систему лінійних алгебраїчних рівнянь.

Щоб виконати чи можливо нехтувати радіусами волокон криволінійної труби, за вказаних схемах проведено числові розрахунки у випадку замкнутої тороподібної оболонки, пласка напрямна якої /1/ задана рівняннями

$$x = R_2 \cos \alpha_x, \quad y = R_2 \sin \alpha_x, \quad 0 \leq \alpha_x \leq 2\pi.$$

При цьому враховували такі варіанти спрощень:

а/ нехтування різниці радіусів волокон серединної поверхні труби у вихідних рівняннях при виведенні основних співвідношень методом;

б/ нехтування $\frac{R_1}{R_2} \sin \alpha_x, \frac{\beta'' x' - \beta' x''}{[x'^2 + \beta'^2]^{1/2}}$ у формулі для $t(\alpha_x, \alpha_2)$ при обчисленні інтегралів по α_x , що входять у функціонал /3/;

в/ те ж саме, що і в пункті б/ лише в інтегралах, що входять тільки у квадратичну частину функціоналу.

На рис. I-3 показані графіки напруження σ_r / ρ_{cr} на зовнішній поверхні тора, навантаженого внутрішнім рівномірно розподіленим тиском / $E = 10^4$; $\nu = 0,3$; $h = 0,05$ / для різних відношень $\frac{R_1}{R_2}$.

Крива 1 відповідає розв'язку задачі за вказаних схемах [4] без будь-яких спрощень, крива 2 – зі спрощенням а/; крива 3 – зі спрощеннями б/, в/.

Порівнюючи отримані результати, бачимо, що найбільшу суттєву похибку в розв'язок вносить допущення а/. Переміщення і напруження у цьому випадку не збігаються і кількісно, і якісно з розв'язками, одержаними без вказаних допущень. Що ж стосується варіантів б/ і в/, то близьким до істинного є напруження σ_r , при значеннях відношення $\frac{R_1}{R_2}$, за яких для визначення розрахункових величин можна використати розв'язки для прямокутної оболонки з радіусом поперечного перерізу R_1 ($\frac{R_1}{R_2} < \frac{1}{100}$) .

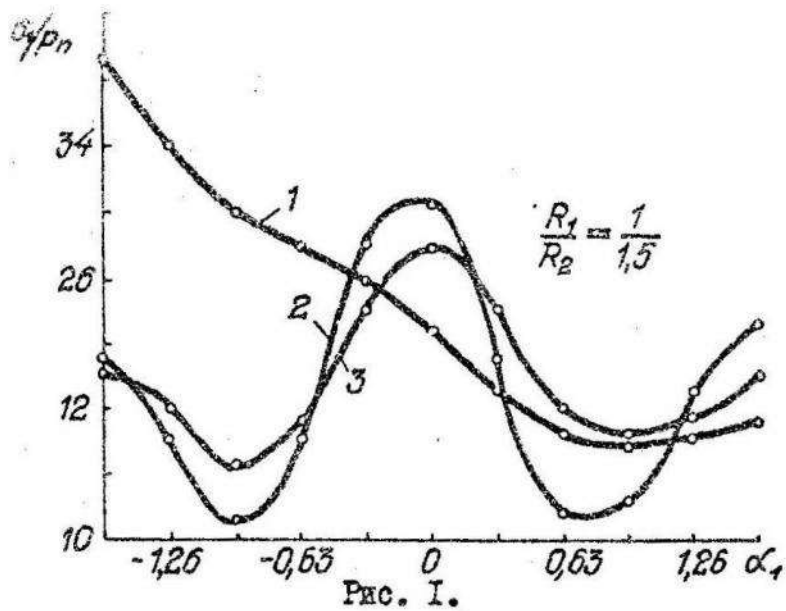


Рис. 1.

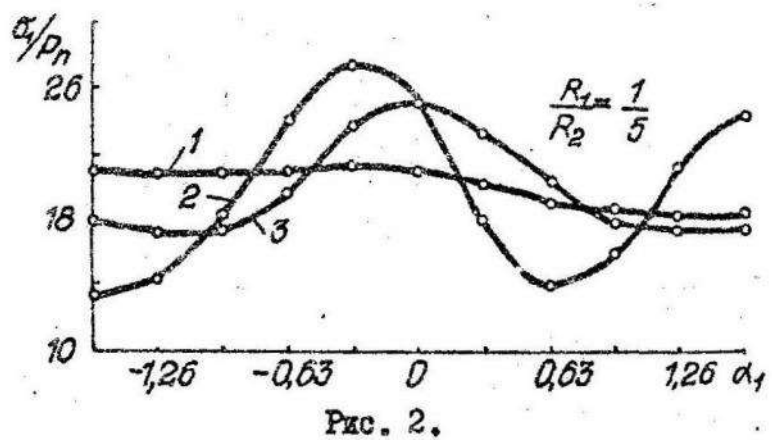


Рис. 2.

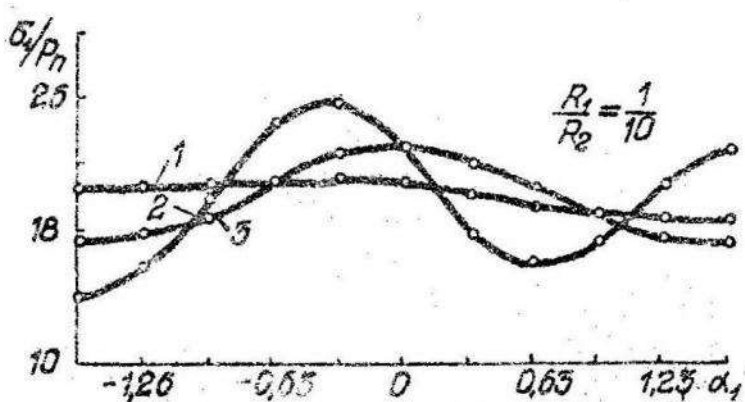


Рис. 3.

— 53 —

Таким чином, розв'язуючи задачі про пружну різновагу криволінійних труб в переміщеннях шляхом мінімізації функціоналу Лагранжа за вказаною схемою МСЕ, різницю радіусів волокон серединної поверхні нехтувати не можна.

Список літератури: 1. Аксельрад Э.Л. Гибкие оболочки. - М.: Наука, 1976. 2. Аксельрад Э.Л., Ильин В.П. Расчет трубопроводов. - Л.: Машиностроение, 1972. 3. Михлин С.Г. Вариационные методы в математической физике. - М.: Наука, 1970. 4. Савула Я.Г., Флейшман Н.П., Шинкаренко Г.А. Метод расчета труб с произвольной криволинейной осью. - Сопротивление материалов и теория сооружений, 1978, № 32. 5. Черных К.Ф. Линейная теория оболочек. - Л.: Изд-во Ленингр. ун-та, 1964. Т.2.

Стаття надійшла в редколегію ІЗ.ІІ.1979 р.

УДК 539.3

Р.І.Мокрик, Ю.А.Паздерський, В.Ф.Кочубей,

I.М.Гутор, I.В.Оліярник

СТАЦІОНАРНИЙ ТЕПЛООБМІН ПРИ РУСІ ГАЗУ
МІЖ ДВОМА СПІВОСНИМИ КРУТОВИМИ ЦИЛІНДРАМИ

Питання теплообміну в потоці в'язкого газу вивчено ще недостатньо. У праці [4] методом "стержневої" моделі проаналізовано температурне поле в турбулентному потоці газу. Нестаціонарний теплообмін в сущільній трубі в ламінарному потоці газу досліджено в працях [1, 3].

Ми розглядаємо задачу про визначення температурного поля в'язкого газу, який рухається між двома співосними круговими циліндрами радіусів ε_1 і ε_2 , $\varepsilon_2 > \varepsilon_1$, за умови, що газ нестисливий, теплофізичні параметри його постійні, тепlopровідність у напрямі осі симетрії z відсутня. Нехтуємо також тепловідводом за рахунок дисипації енергії.

Припускаємо, що температура зовнішньої і внутрішньої границь яка обмежує потік, підтримується постійною при відповідно величинах